

(討20) 鉄合金のヒリ系と降伏応力の結晶方位依存性

金材技研 田岡忠美 竹内伸 古林英一

* 魏八幡 東研

§ 1 厚

金属結晶のヒリ系は、その変形機構、機械的性質、再結晶や変態等を理解するのに最も重要なである。F.C.C. 金属ではヒリ系は $\langle 111 \rangle < 110 \rangle$ であるが、B.C.C. 金属ではヒリ方向は $\langle 111 \rangle$ にまつてゐるが、ヒリ面について定説がない。i) $\langle 110 \rangle$, ii) $\langle 110 \rangle$, $\langle 112 \rangle$ と $\langle 113 \rangle$, iii) 他と最大せん断応力面の三説に大別され、B.C.C. に特有な波状ヒリ帶は上の二つは二のヒリ面での交叉ヒリによると考えられてゐる。又温度により変り、低温で $\langle 110 \rangle$ 、常温で $\langle 112 \rangle$ 更に高温で $\langle 113 \rangle$ かからく傾向があると認められてゐる。最近の電顕直接観察も充分に素ヒリ面を観測してゐない。従つて臨界せん断応力、その温度変化等を求めることが出来ない。

この研究では Fe, Si-Fe, Al-Fe, V-Fe について、 $\langle 111 \rangle$ 晶帶に属する低指数面に最大せん断応力があるような方位の單結晶（引張り、圧縮変形）についてヒリ系の臨界せん断応力、その温度変化、降伏応力の結晶方位依存性を測定、更にヒリ帶の軸位分布の結晶方位による差を観察した。その結果

- i) $\langle 110 \rangle$ 面に沿うる臨界せん断応力が結晶方位（引張り軸に対する）により異なる。
- ii) $\langle 112 \rangle$ 面に沿うる臨界せん断応力が上記の向きによつて変化する等の異常現象が明らかになつた。それ等の結果について述べる。

§ 2 実験方法

オ 1 表の成分の鐵
鉄合金單結晶と 1mm
厚さの板材を用ひ、
歪一焼鍛法で製作し、

結晶の成長方向に平

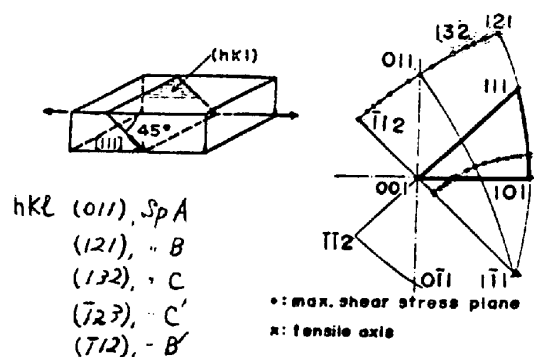
specimens	C	Si	Mn	P	S	V	Al
Fe	0.002	0.001	0.001	0.001	0.004		0.001
2.6%Si-Fe	0.001	2.57	0.006				
4.4%Si-Fe	0.001	4.36	0.01	0.004	0.002		
1.9%V-Fe	0.0018					1.90	
9.6%V-Fe	0.005	0.13	0.01	0.004	0.001	9.62	
2.9%Al-Fe	0.002	0.01	0.01	0.004	0.004		2.92

オ 1 表 鉄、鉄合金單結晶の化学成分

行に 1.5mm 平行部 1.5mm の引張り試料を切り出した。引張り軸に対する方位はオ 1 図に示すようにヒリ方向 $[1\bar{1}1]$ が側面に平行で、最大せん断応力が $[1\bar{1}\bar{1}]$ 晶帶の (011) , (121) , (132) 等にあるように逆 C' 夫: Sp.A, Sp.B, Sp.C と呼ぶ。 (011) に対し対称な $(\bar{1}12)$, $(\bar{1}2\bar{3})$ 方位を Sp.B', Sp.C' と夫: 呼ぶ。

又溶解法で作ったブロック状單結晶から同じ方位の試料を切り出し、圧縮試験した。変形速度は 1%/min で常温より液体窒素温度の範囲でインストロニ型試験機で変形した。

ヒリ面は ~1% 伸張した試料のヒリ帶降伏応力の方位依存性のうちのヒリ帶



オ 1 図 試料の結晶方位

の転位分布の直接観察を 500KV SNH-1A 電顕で行った。

§ 3 測定結果

3-1 上り面の観察

1例として 4.4% Si-Fe を常温で 1% 伸張した時 の表面の上り帶を示す。各試料共に単一上りで SpA では (011) , SpB では (121) のトレースに あり、SpC ではほとんどの (011) , SpC' では (011) と $(\bar{1}2\bar{1})$ トレースの中間に ある。各方位の試料の上り帶の (011) からの傾きを示したのが下図である。

SpA から SpB までは (011) 面に平行であるが SpA と SpB の間では (011) と最大せん断応力面の間にあることが分る。この傾斜は 2.6% Si-Fe の場合でもさとうられた。

上り面の変形温度の影響は SpA では観察されず 全温度範囲で (011) 面である。一方 SpB では方々図に見られるように 常温での (121) 面から -100°C 附近から (011) 面に変わる。この傾向も全測定試料について同じである。

3-2 降伏応力の温度に伴う変化

下図に測定した全試料の SpA, B, B' の下降伏応力の温度変化を示す。各試料共に SpA に比べ SpB, SpB' の下降伏応力は高く 温度変化も大きい。又 SpB の下降伏応力が SpB' に比べ、すべての試料で大きいことが注目される。SpB で上り面が (011) から (121) へ遷移する温度を各曲線上で示す。

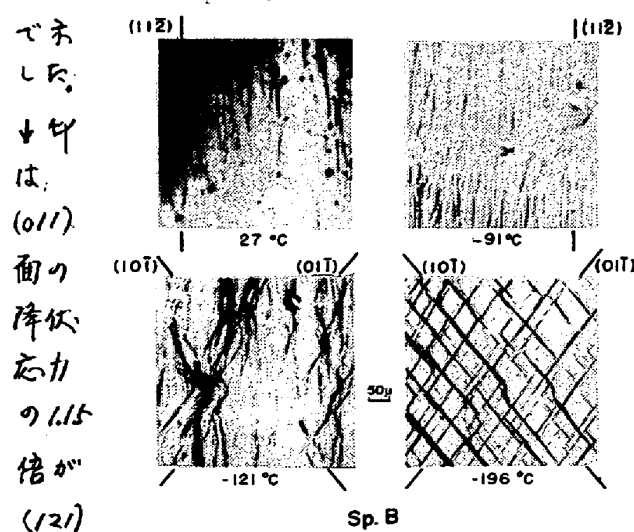


図4 図 2.6% Si-Fe の上り帶温度変化

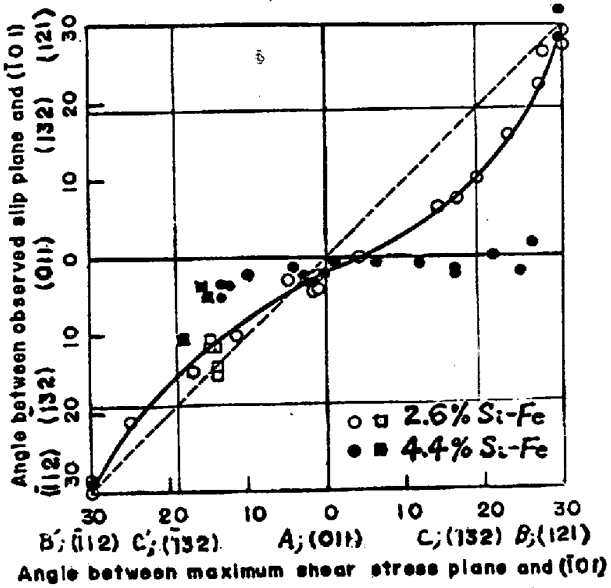


図3 図 2.6, 4.4% Si-Fe の上り帶方位

休応力に当る温度を示す。エリ面の遷移温度は常に上の温度より低いことに注意。

3-3 降伏応力の結晶方位による変化

2.6%, 4.4% Si-Feについてオフ図に示す。両試料共に(011)に対し結晶学的に対称な左右で降伏応力は非対称に変化する。引張り試験で Δp_B と $\Delta p_{B'}$ を比較すると Δp_B が 2.6% Si に対して ~4%, 4.4% Si に対して ~13% 高い。圧縮試験ではせん断応力の向きが反対になつて(011)の左右で逆になつてゐる。

又両試料で Δp_A の降伏点を通る破壊は、全結晶方位で(011)面で分解せし断応力の法則に従つてみると仮定した時の値で $\Delta p_B, B'$ では Δp_A の 1.1 倍である。観測値は 2.6% Si-Fe で低く 4.4% Si-Fe で高くなつてゐる。後者で Δp_A や Δp_B 近くまで(011)面とりが観察されてゐるが、明らかに Schmid 法則は成立しない。

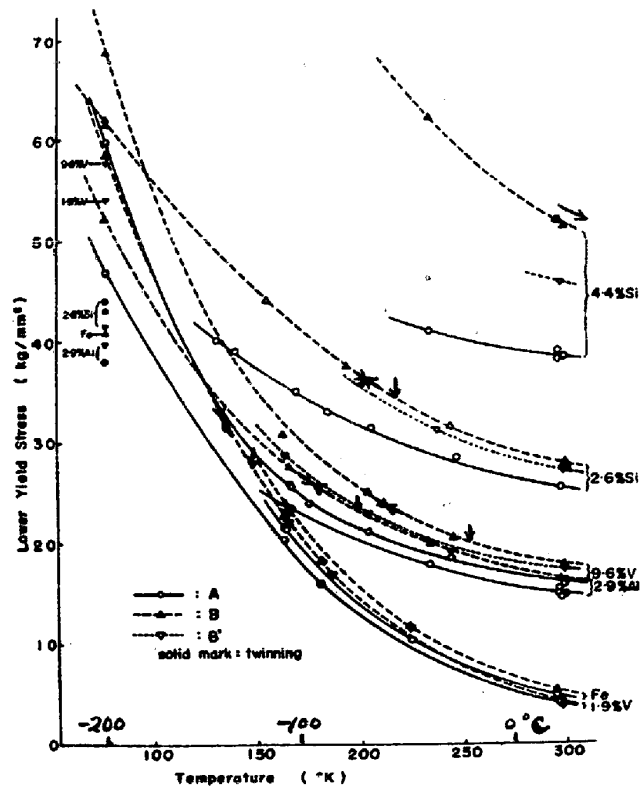
3-4 エリ帶上転位分布

上述の降伏応力の結晶方位による異常変化を明らかにする手がかりとして、各試料のエリ面の転位分布をエリ帶に平行に切り出した薄膜で電顕観察(500KV SMH-TA)した例をオフ図に示す。 $\Delta p_A, \Delta p_C'$ の圧縮後写真で何れも(011)面であるが、一見して異なる。 Δp_A の転位は <111> に沿うるセミ転位が大部分で長くのびてゐる。 $\Delta p_C'$ では loops や debris が多く存在し、転位は cusp や dipole に伴う edge 成分が増えてゐる。転位の screw 成分に対する edge 成分の比、転位の全長に対する loops や debris の数をオフ表に示した。尚 loops や debris の Burgers ベクトルは転位と同じ<111>である。

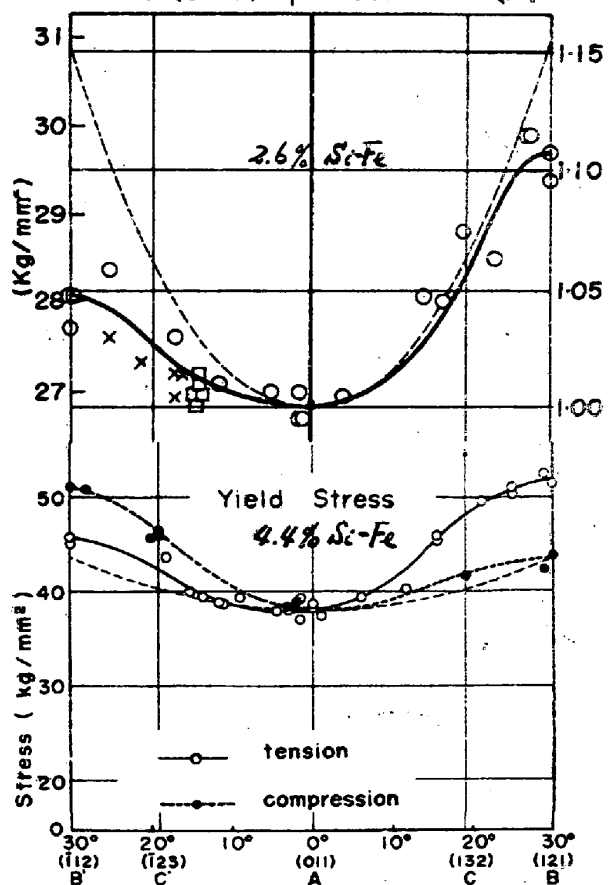
5-4 考察

4-1 エリ系

Δp_A で 1011{<111>} エリ系。 $\Delta p_B, B'$ で 1121{<111>} エリ系の存在は明らかであらう。



オフ図 鉄、鉄合金の降伏応力の温度変化



オフ図 降伏応力の結晶方位による変化

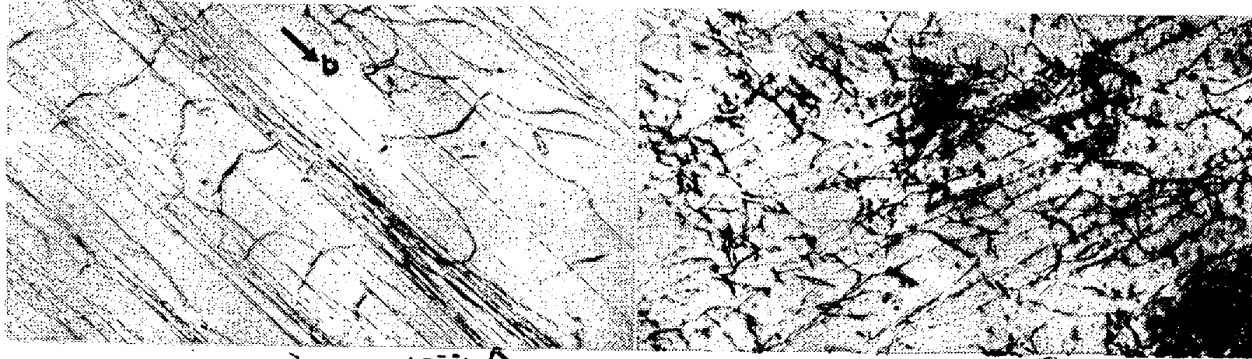


図 17 上り帶にモフた薄膜の電顕写真

specimens	edge comp.	density of loops & debris
	screw comp.	density of dislocations
A	0.16	0.6 μ^{-1}
C'	0.56	2.1 μ^{-1}

SpB, SpB' の上り面が $101\bar{1}\bar{1}$ $\langle 111 \rangle$ 上りの交叉と考へること
は、降伏応力が SpA の (011) 面の臨界せん断応力から期待される値に比べ $2.6\% Si-Fe$

で低く $4.4\% Si-Fe$ で明らかに高いことから否定される。 SpA と SpB, B' の間の方位では最大せん断応力面に上り帶はモフてゐない。これら2試料では一方 $101\bar{1}\bar{1}$, $112\bar{1}\bar{1}$ 面上りの交叉と考へるべきであろう。

表 4.4% Si-Fe の SpA, SpC' 上り帶上転位の edge 成分と screw 成分の比、loops と debris の密度。

4-2 $112\bar{1}\bar{1}$ 面上りの臨界せん断応力の上りの向きによる相違

Steijn, Sesták 等が Fe と $Si-Fe$ で同じ結果を得てゐるところから 合金でのみある現象ではない。臨界せん断応力の低い SpB' (圧縮りとは SpB) は応力の向きが 双晶上りの向きで SpB (又は SpB') は逆向きとなる。双晶面 $112\bar{1}\bar{1}$ 面上の $\frac{1}{2}\langle 111 \rangle$ 転位の周りの電荷配列が対称ではなく Peterlin-Nabarrow のホテンシャルの形が対称ではなく 転位の上り応力が向きにより異なつためである。

4-3 (011) 面上りの臨界せん断応力が結晶の方位により変化

Sesták 等は上り面に垂直な応力の差で説明してゐるが 引張り変形と圧縮変形で差がないこと等から否定される。Sleeswyker より $112\bar{1}\bar{1}$ 面での転位の分解の影響とするよりも積層欠陥エネルギーが余りはよくないので考えられる。 (011) 面上の転位は SpC' で cusps や dipoles が多数みられるが これはラセン転位に不動ジョブの多數の存在を示してゐる。 SpC' では $(\bar{1}12)$ 面上の分解せん断応力が大きいことから (011) 面から $(\bar{1}12)$ 面へ更に (011) 面へ交叉するもあくすこくより $(\bar{1}12)$ 面上のジョブの形成が考えられる。この $(\bar{1}12)$ 面上の edge 成分をもつ jog がとり難く debris や dipole を作り 転位の運動を止まらせるものと考える。

文献

- 竹内伸：日本物理学会誌, 19 (1964) No. 7, p. 427 (2.6% Si-Fe)
- T. Taoka, S. Takeuchi & E. Furabayashi: J. phys. Soc. 19 (1964) 702.
- D. Hull: Proc. Roy. Soc. 274 (1963) 4; F. W. Noble & D. Hull: Phil. Mag. 12 (1967) 777
- R. P. Stein & R. M. Brickle: Trans. ASM 46 (1954) 1406
- B. Sesták & L. Libovický: Acta Met. 11 (1963) 1190